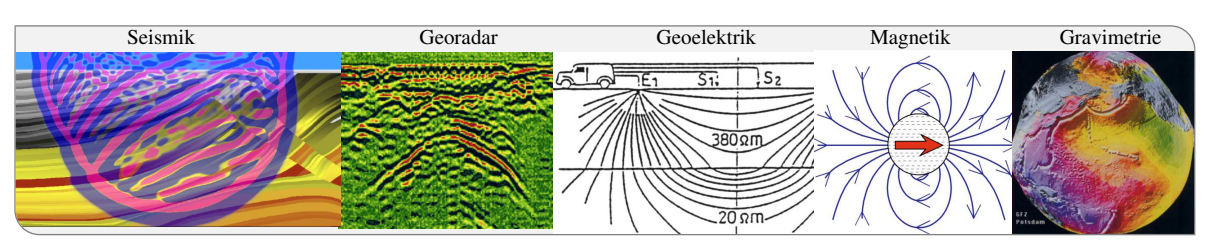


Einführung in die Geophysik I

Reflexionsseismik

Thomas Bohlen, Geophysikalisches Institut, Fakultät für Physik







•

Einführung

2 Seismische Wellenausbreitung

8 Refraktionsseismik

4 Reflexionsseismik

5 Elektromagnetische Verfahren

Geoelektrik

Gravimetrie

Magnetik

Weiteres Thema Die Klausur findet voraussichtlich am 15.02.2023 statt.

(02.11)(02.11, 09.11)

(16.11)(23.11)

(14.12)(11.01, 18.01) (25.01, 01.02)

(08.02)

□ → < = >
 □ >

GPI, KIT

(30.11, 07.12)



- Einführung
- Signalamplituden
- CMP-Datenbearbeitung
 - Sortierung
 - Laufzeitkurven
 - Herleitung der Dix-Formel
 - Geschwindigkeitsanalyse
 - Laufzeitkorrektur und Stapelung
 - Beispiel
- Zusammenfassung





- Einführung
- Signalamplituden
- CMP-Datenbearbeitung
 - Sortierung
 - Laufzeitkurven
 - Herleitung der Dix-Formel
 - Geschwindigkeitsanalyse
 - Laufzeitkorrektur und Stapelung
 - Beispiel
- Zusammenfassung



Ziele der Reflexionsseismik



Wellenausbreitungseffekte sind u.a.

- Reflexion
- Refraktion

Ziele der Reflexionsseismik

- Abbildung von geologischen Grenzflächen: "Migration"
- 2 Rekonstruktion der Ausbreitungsgeschwindigkeit: "Inversion/Tomographie"

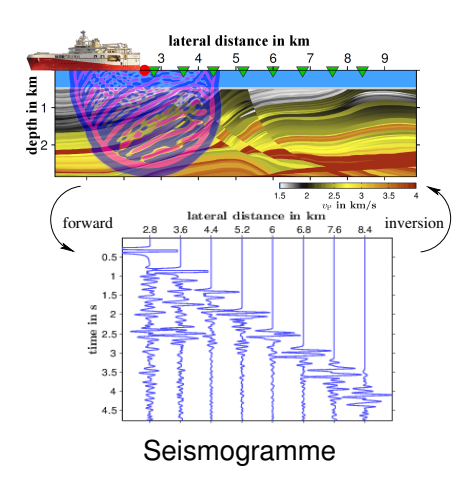
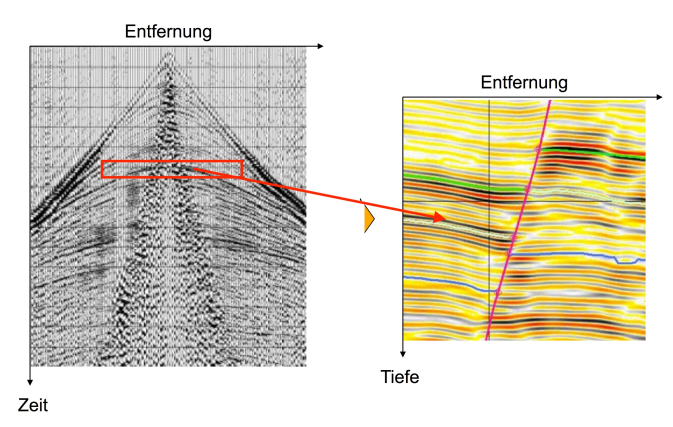




Abbildung Reflexionsseismik





Migration: Bewegung (lat. "migrare") des aufgezeichneten Signals an den Reflexionspunkt.







Vorteile

- gute vertikale und laterale Auflösung
- gute Tiefeneindringung
- geringe Mehrdeutigkeiten

Nachteile

- großer Aufwand bei der Akquisition (zahlreiche Quellen und Empfänger)
- große Datenmengen (Peta-Bytes)
- Zeit und Erfahrung bei der Datenbearbeitung und Interpretation
- ggf. hohe Rechenleistung



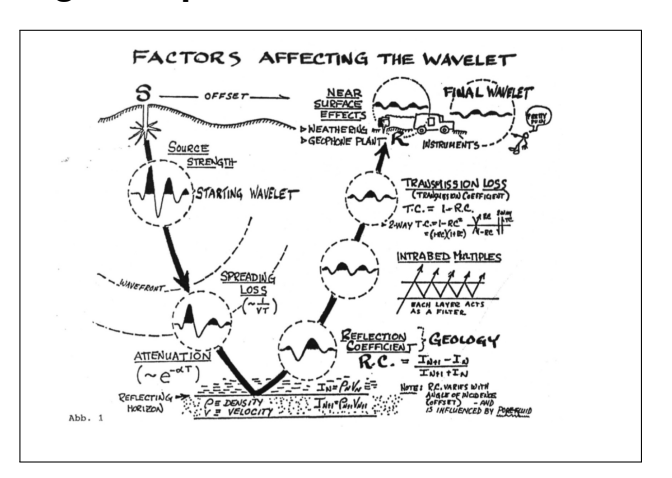


- Einführung
- Signalamplituden
- CMP-Datenbearbeitung
 - Sortierung
 - Laufzeitkurven
 - Herleitung der Dix-Formel
 - Geschwindigkeitsanalyse
 - Laufzeitkorrektur und Stapelung
 - Beispiel
- Zusammenfassung



Signalamplituden reflektierter Wellen



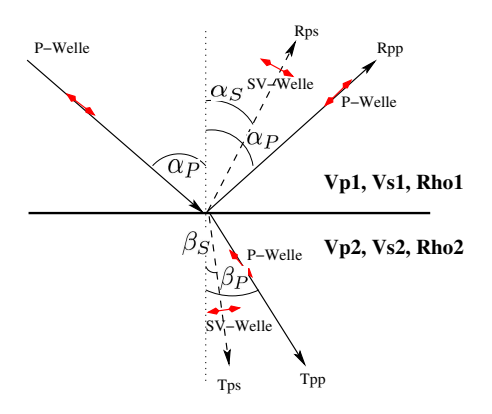


- Abstrahlung (Quelle)
- Geometrischer Ausbreitungsverlust
- Dämpfung
- Reflexion und Transmission
- Interferenzen
- Aufzeichnung (Empfänger)



Reflexions- und Transmissionskoeffizienten

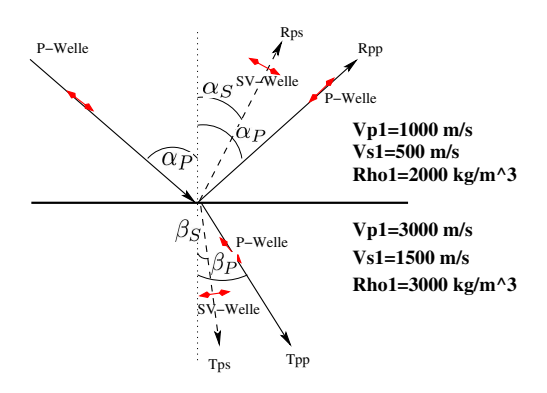




- Reflexionskoeffizient: $R_{pp} = \frac{\text{einfallende Amplitude}}{\text{reflektierte Amplitude}}$
- Der Reflexionskoeffizient h\u00e4ngt stark vom Einfallswinkel ab
- Spezialfall $R_{pp}(\alpha_p = 0) = \frac{\varrho_2 V \rho_2 \varrho_1 V \rho_1}{\varrho_2 V \rho_2 + \varrho_1 V \rho_1} = \frac{I_2 I_1}{I_2 + I_1}$
- $I_i = \rho_i V p_i$: Impedanz der Schicht *i*

Beispiel für Reflexions- und Transmissionskoeffizienten



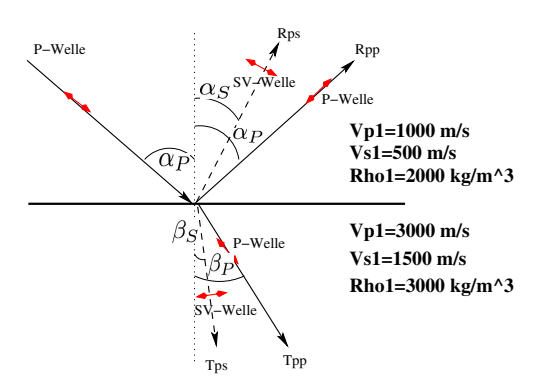


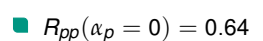
- $R_{pp}(\alpha_p = 0) = 0.64$
- $\alpha_p^* = \arcsin(Vp_1/Vp_2) = 19^\circ$



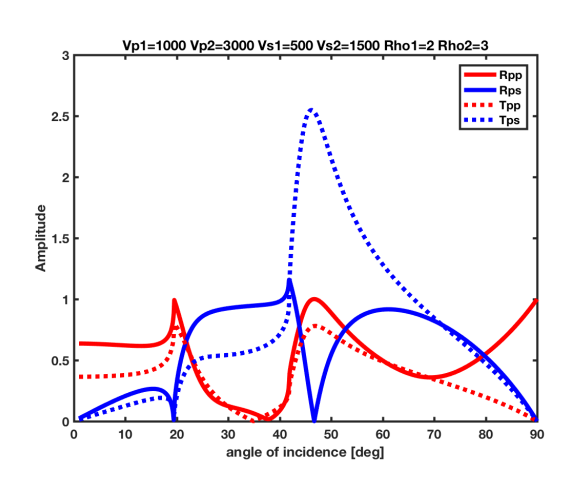
Beispiel für Reflexions- und Transmissionskoeffizienten







$$\alpha_p^* = \arcsin(Vp_1/Vp_2) = 19^\circ$$







- Einführung
- Signalamplituden
- CMP-Datenbearbeitung
 - Sortierung
 - Laufzeitkurven
 - Herleitung der Dix-Formel
 - Geschwindigkeitsanalyse
 - Laufzeitkorrektur und Stapelung
 - Beispiel
- Zusammenfassung



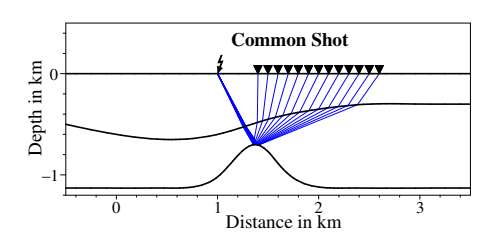


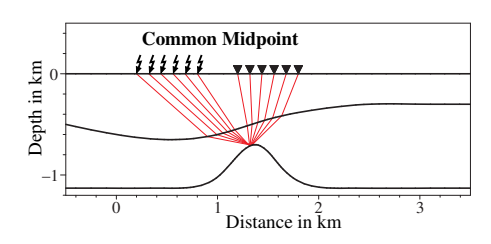
- Einführung
- Signalamplituden
- CMP-Datenbearbeitung
 - Sortierung
 - Laufzeitkurven
 - Herleitung der Dix-Formel
 - Geschwindigkeitsanalyse
 - Laufzeitkorrektur und Stapelung
 - Beispiel
- Zusammenfassung



Sortierung nach gemeinsamen Mittelpunkten (CMP)







- Messgeometrie: Common Shot
- Umsortierung in CMP-Geometrie (CMP=Common Mid Point): CMP=Mittelpunkt zwischen Quellpunkt und Empfänger
- Seismogramme einer CMP-Sektion beleuchten ähnliche Reflexionspunkte



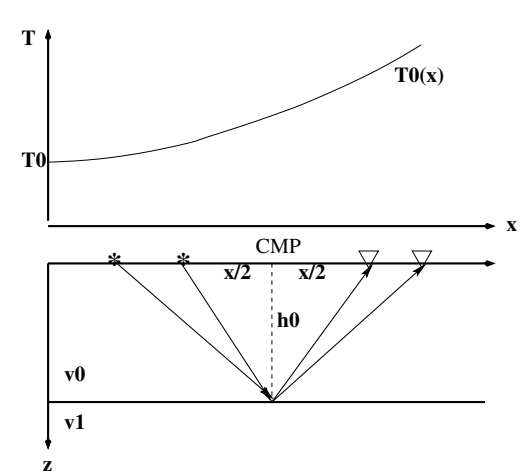


- Einführung
- Signalamplituden
- CMP-Datenbearbeitung
 - Sortierung
 - Laufzeitkurven
 - Herleitung der Dix-Formel
 - Geschwindigkeitsanalyse
 - Laufzeitkorrektur und Stapelung
 - Beispiel
- Zusammenfassung









Laufzeitgleichung (exakt):

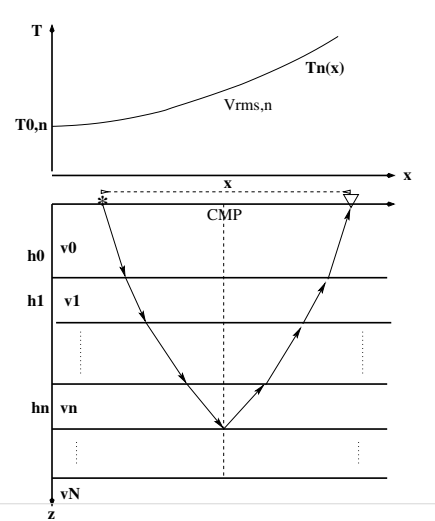
$$T_0^2(x) = \frac{x^2}{v_0^2} + T_{0,0}^2$$

Laufzeit des Lotstrahls:

$$T_{0,0} = \frac{2h_0}{v_0}$$

Laufzeitkurve CMP-Sektion - söhliger Mehrschichtfall





Ansatz:

$$T_n^2(x) = \frac{x^2}{v_{rms,n}^2} + T_{0,n}^2 (n = 0, ..., N)$$

Dix'sche Formel:

$$v_{rms,n}^2 = rac{\sum\limits_{i=0}^n v_i^2 extstyle t_i}{\sum\limits_{i=0}^n extstyle t_i}$$
: "RMS-Geschwindigkeit"

Laufzeit des Lotstrahls:

$$T_{0,n} = \sum_{i=0}^{n} \triangle t_i$$

Lotzeiten:

$$\triangle t_i = \frac{2h_i}{v_i}$$

Intervallgeschwindigkeiten: vi





- Einführung
- Signalamplituden
- CMP-Datenbearbeitung
 - Sortierung
 - Laufzeitkurven
 - Herleitung der Dix-Formel
 - Geschwindigkeitsanalyse
 - Laufzeitkorrektur und Stapelung
 - Beispiel
- Zusammenfassung



Herleitung Dix-Formel



Wir machen den Ansatz für die Laufzeitkurve der n-ten Reflexion

$$T_n(x) = \sqrt{T_{0,n}^2 + \frac{x^2}{\tilde{v}_n^2}}, \qquad \tilde{v}_n^2 := v_{rms,n}^2$$

Dies ist der erste Term einer Taylorentwicklung und gilt daher nur für hinreichend kleine x. Für den Strahlparameter gilt nach dem Brechungsgesetz von Snellius

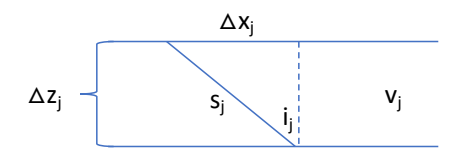
$$p_n = \frac{\partial T_n}{\partial x} = \frac{x}{T_n \tilde{v}_n^2} = \frac{\sin(i_j)}{v_j} = const$$



Herleitung Dix-Formel



Wir betrachten ein Strahlsegment in der Schicht i



Für den Offset x können wir schreiben:

$$x = 2\sum_{i=0}^{n} \triangle x_{j} = 2\sum_{i=0}^{n} \sin(i_{j})s_{j} = 2\sum_{i=0}^{n} \frac{\sin(i_{j})}{v_{j}}s_{j}v_{j} = \sum_{i=0}^{n} \frac{x}{T_{n}\tilde{v}_{n}^{2}}v_{j}^{2}\triangle t_{j}$$
(1)



Herleitung Dix-Formel



Wir kürzen x in Gleichung 1 und erhalten:

$$\tilde{v}_n^2 T_n = \sum_{i=0}^n v_j^2 \triangle t_j \quad \text{für alle} \quad x \tag{2}$$

Für x=0 ailt:

$$\tilde{v}_{n}^{2}T_{0,n} = \sum_{j=0}^{n} v_{j}^{2} \triangle t_{0,j}, \quad T_{0,n} = \sum_{j=0}^{n} \triangle t_{0,j} \quad \triangle t_{0,j}$$
:Lotzeiten (3)

Die Dix'sche Formel berücksichtigt die Brechung.



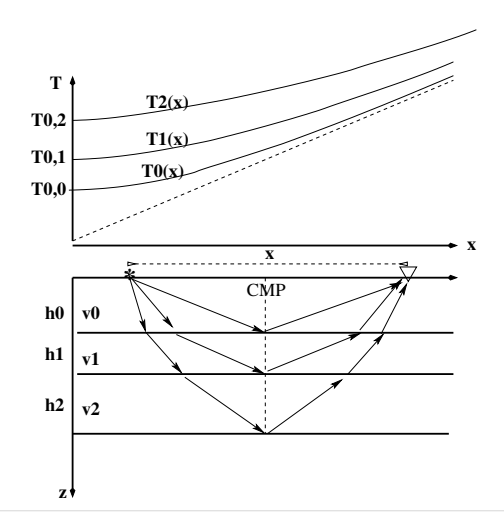


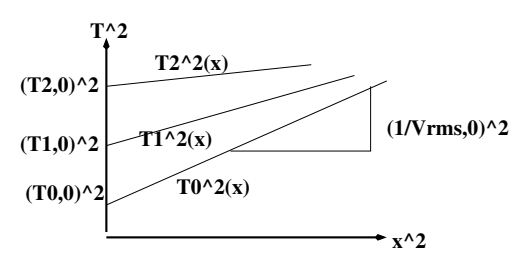
- Einführung
- Signalamplituden
- CMP-Datenbearbeitung
 - Sortierung
 - Laufzeitkurven
 - Herleitung der Dix-Formel
 - Geschwindigkeitsanalyse
 - Laufzeitkorrektur und Stapelung
 - Beispiel
- Zusammenfassung



Rekonstruktion der Schichtgeschwindigkeiten







Für jede Reflexion kann aus der Krümmung der Laufzeitkurve eine RMS-Geschwindigkeit v_{rms} abgeschätzt werden.





Rekonstruktion der Schichtgeschwindigkeiten



Die rekursive Anwendung der Dix'schen Formel erlaubt die Berechnung der Intervallgeschwindigkeiten v_i aus den beobachteten $v_{rms,n}$:

$$n = 0: v_0^2 = v_{rms,0}^2$$

$$n = 1: v_1^2 = \frac{1}{\triangle t_1} \left(v_{rms,1}^2 T_{0,1} - v_{rms,0}^2 T_{0,0} \right)$$
...
$$n: v_n^2 = \frac{1}{\triangle t_n} \left(v_{rms,n}^2 T_{0,n} - v_{rms,n-1}^2 T_{0,n-1} \right)$$

Diese Analyse wird für jede CMP-Sektion durchgeführt. Man erhält so ein ein Modell der Schichtgeschwindigkeiten (Intervallgeschwindigkeiten)



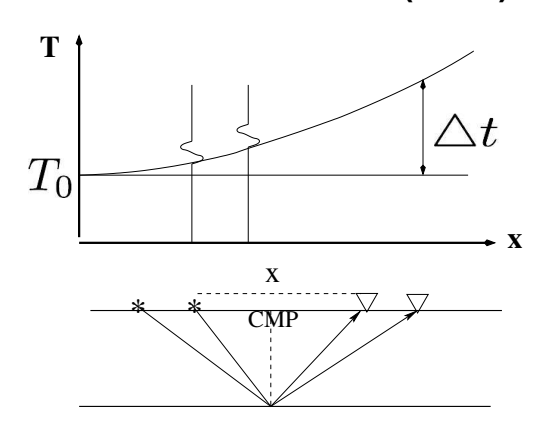


- Einführung
- Signalamplituden
- CMP-Datenbearbeitung
 - Sortierung
 - Laufzeitkurven
 - Herleitung der Dix-Formel
 - Geschwindigkeitsanalyse
 - Laufzeitkorrektur und Stapelung
 - Beispiel
- Zusammenfassung



Das Normal-Moveout (NMO)



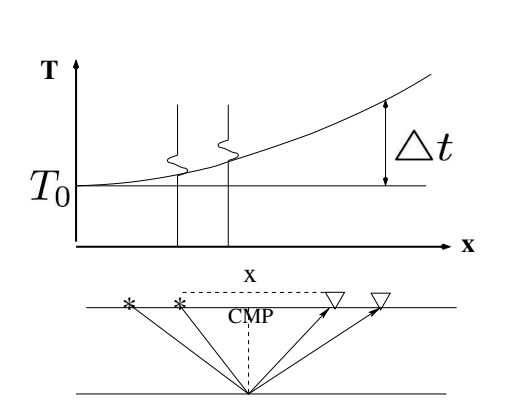


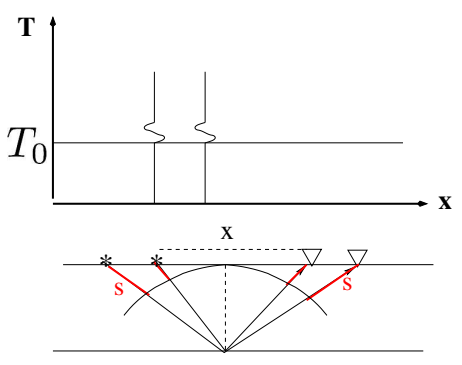
Das Normal-Moveout beschrieben durch

$$\triangle t(x) = T(x) - T_0 = \sqrt{\frac{x^2}{v_{mns}^2} + T_0^2} - T_0$$
 gibt die Abweichung der Laufzeit von der Laufzeit des Lotstrahls an.

Die Normal-Moveout Korrektur (NMO-Korrektur)



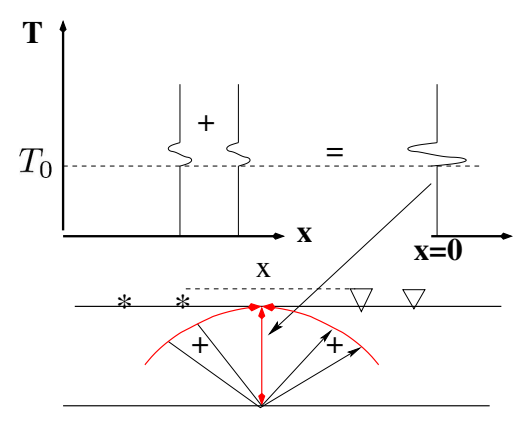




Die Normal-Moveout Korrektur korrigiert die Krümmung der Laufzeitkurve, so dass die Signale der Reflexion alle zur Laufzeit des Lotstrahls eintreffen.

Summation (Stapelung)



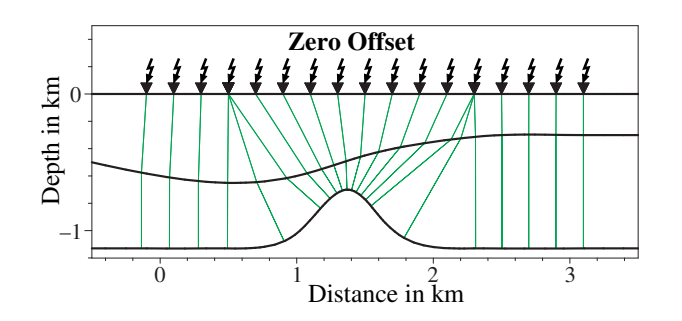


Die Stapelung summiert die reflektierten Signale auf den Lotstrahl (Zero-Offset-Strahl)



Zero-Offset-Sektion





- Ergebnis der Stapelung: **ZO-Sektion**
- Abbild für Lotstrahlen
- Verbesserung des Signal-Störverhältnisses durch Stapelung



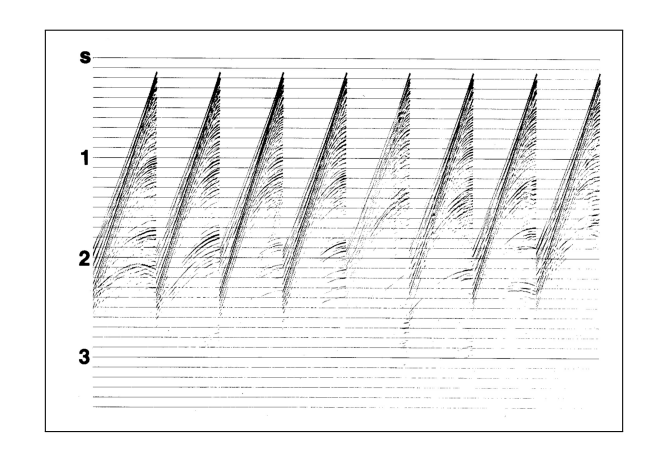


- Einführung
- Signalamplituden
- CMP-Datenbearbeitung
 - Sortierung
 - Laufzeitkurven
 - Herleitung der Dix-Formel
 - Geschwindigkeitsanalyse
 - Laufzeitkorrektur und Stapelung
 - Beispiel
- Zusammenfassung



Schuss-Sektionen eines marinen Streamers

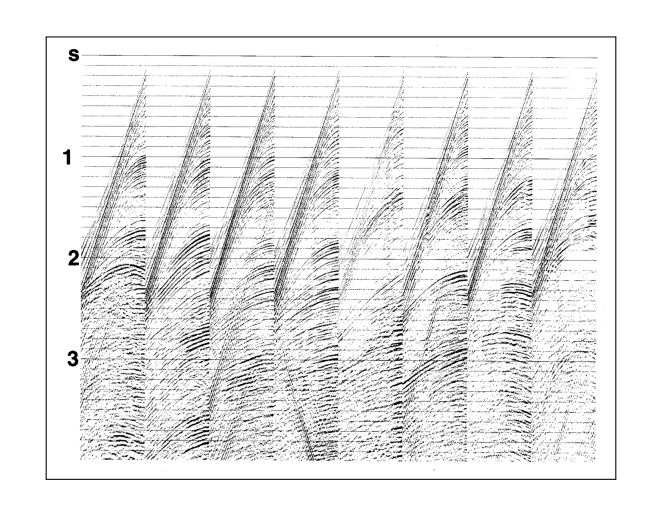






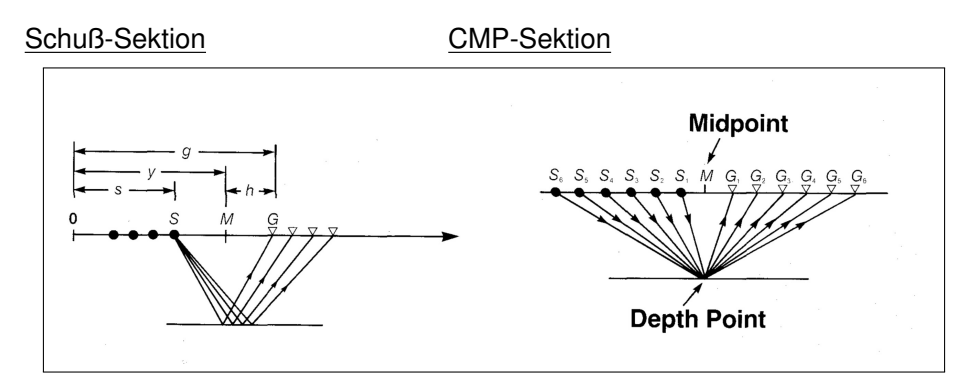
1. Amplitudenverstärkung





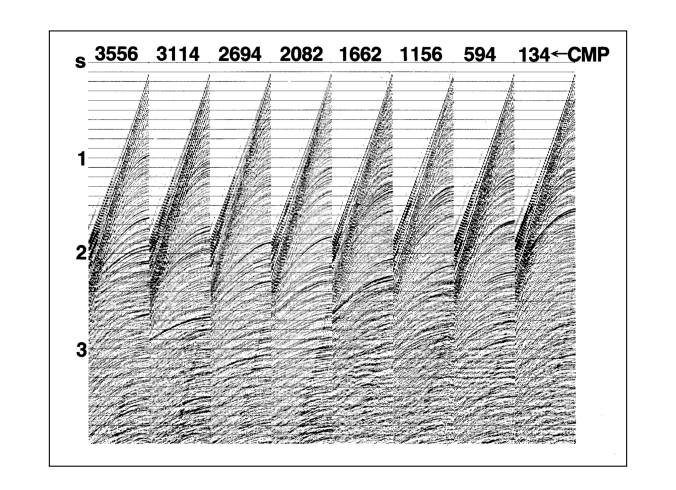
2. CMP-Sortierung





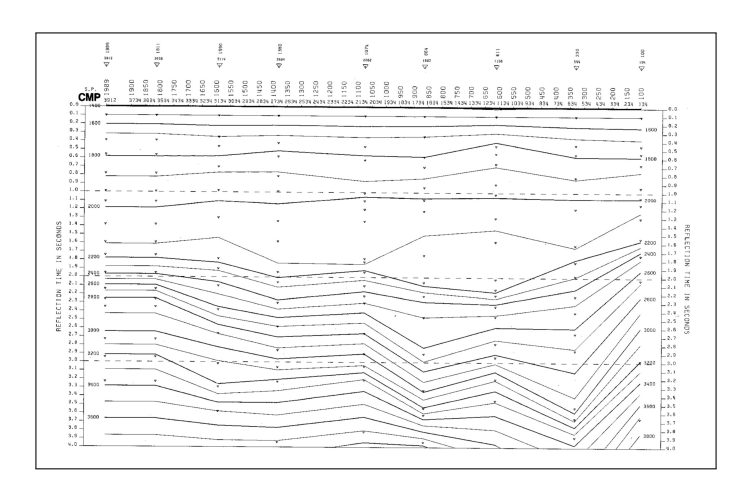
2. CMP-Sektionen





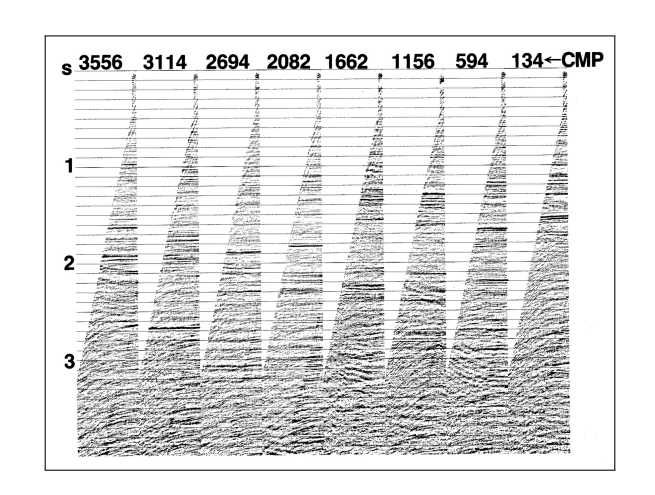






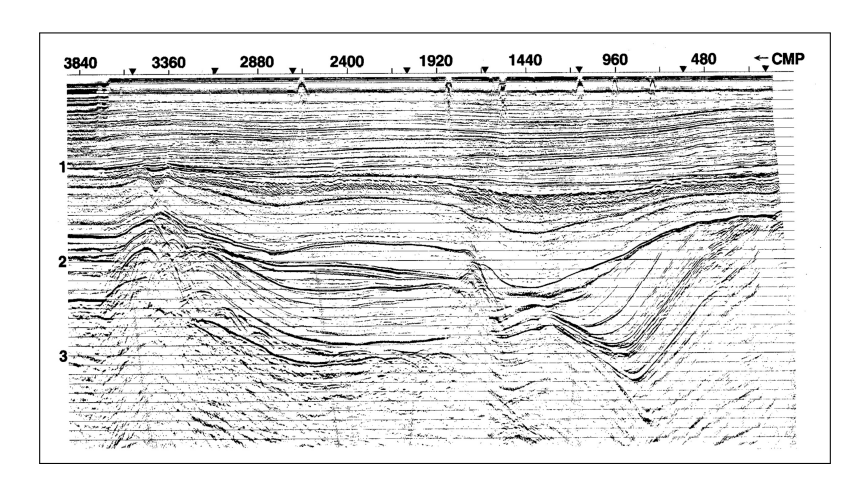
4. Hyperbolische Laufzeitkorrektur





5. Stapelung liefert ZO-Sektion







- Einführung
- Signalamplituden
- CMP-Datenbearbeitung
 - Sortierung
 - Laufzeitkurven
 - Herleitung der Dix-Formel
 - Geschwindigkeitsanalyse
 - Laufzeitkorrektur und Stapelung
 - Beispiel
- Zusammenfassung



Zusammenfassung



- Ziel der Reflexionsseismik ist die Abbildung von Diskontinuitäten sowie die Rekonstruktion der Ausbreitungsgeschwindigkeiten.
- Die Stärke des reflektierten Signals wird maßgeblich durch den Impedanzkontrast bestimmt.
- Das CMP-Verfahren macht die Annahme hyperbolischer Laufzeitkurven und liefert durch einfache Datenbearbeitungsschritte ein erstes Geschwindigkeitsmodell und Abbild der Diskontinuitäten:
 - CMP-Sortierung
 - Bestimmung RMS-Geschwindigkeiten v_{rms}, n
 - Umrechnung in Intervallgeschwindigkeiten v_i durch rekursive Anwendung der Dix'schen Formel
 - NMO-Korrektur und Stapelung approximiert ZO-Sektion
- → Erstes Abbild der geologischen Diskontinuitäten







Vielen Dank für Ihre Aufmerksamkeit

Thomas.Bohlen@kit.edu

http://www.gpi.kit.edu/

Veröffentlicht unter @ 00 Lizenz.



Referenzen



Yilmaz, Ö. (2001), Seismic Data Analysis: Processing, Inversion, and Interpretation of Seismic Data, Society of Exploration Geophysicists.

URL: https://doi.org/10.1190/1.9781560801580

